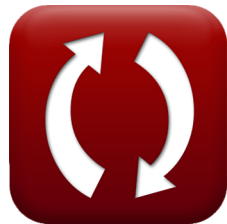




calculatoratoz.com



unitsconverters.com

Spannungskonzentrationsfaktoren im Design Formeln

Rechner!

Beispiele!

Konvertierungen!

Lesezeichen calculatoratoz.com, unitsconverters.com

Größte Abdeckung von Rechnern und wächst - **30.000+ Rechner!**
Rechnen Sie mit einer anderen Einheit für jede Variable - **Eingebaute Einheitenumrechnung!**

Größte Sammlung von Maßen und Einheiten - **250+ Messungen!**

Fühlen Sie sich frei, dieses Dokument mit Ihren Freunden zu
TEILEN!

[Bitte hinterlassen Sie hier Ihr Rückkoppelung...](#)



Liste von 26 Spannungskonzentrationsfaktoren im Design Formeln

Spannungskonzentrationsfaktoren im Design ↗

1) Breite der Wellen-Passfedernut bei gegebenem Verhältnis der Torsionsfestigkeit der Welle mit Passfedernut zur Welle ohne Passfedernut ↗

$$fx \quad b_k = 5 \cdot d \cdot \left(1 - C - 1.1 \cdot \frac{h}{d} \right)$$

[Rechner öffnen ↗](#)

$$ex \quad 5\text{mm} = 5 \cdot 45\text{mm} \cdot \left(1 - 0.88 - 1.1 \cdot \frac{4\text{mm}}{45\text{mm}} \right)$$

2) Durchmesser der Welle bei gegebenem Verhältnis der Torsionsfestigkeit der Welle mit Passfedernut zu der Welle ohne Passfedernut ↗

$$fx \quad d = \frac{0.2 \cdot b_k + 1.1 \cdot h}{1 - C}$$

[Rechner öffnen ↗](#)

$$ex \quad 45\text{mm} = \frac{0.2 \cdot 5\text{mm} + 1.1 \cdot 4\text{mm}}{1 - 0.88}$$

3) Höchster Wert der tatsächlichen Spannung nahe der Diskontinuität ↗

$$fx \quad \sigma_{a_{\max}} = k_f \cdot \sigma_o$$

[Rechner öffnen ↗](#)

$$ex \quad 53.75\text{N/mm}^2 = 2.15 \cdot 25\text{N/mm}^2$$



4) Höhe der Wellen-Passfedernut bei gegebenem Verhältnis der Torsionsfestigkeit der Welle mit Passfedernut zur Welle ohne Passfedernut ↗

fx
$$h = \frac{d}{1.1} \cdot \left(1 - C - 0.2 \cdot \frac{b_k}{d} \right)$$

[Rechner öffnen ↗](#)

ex
$$4\text{mm} = \frac{45\text{mm}}{1.1} \cdot \left(1 - 0.88 - 0.2 \cdot \frac{5\text{mm}}{45\text{mm}} \right)$$

5) Mittlere Spannung bei schwankender Belastung ↗

fx
$$\sigma_m = \frac{\sigma_{\max} + \sigma_{\min}}{2}$$

[Rechner öffnen ↗](#)

ex
$$110\text{N/mm}^2 = \frac{180\text{N/mm}^2 + 40\text{N/mm}^2}{2}$$

6) Theoretischer Spannungskonzentrationsfaktor ↗

fx
$$k_t = \frac{\sigma a_{\max}}{\sigma_o}$$

[Rechner öffnen ↗](#)

ex
$$2.48 = \frac{62\text{N/mm}^2}{25\text{N/mm}^2}$$

7) Theoretischer Spannungskonzentrationsfaktor für elliptische Risse ↗

fx
$$k_t = 1 + \frac{a_e}{b_e}$$

[Rechner öffnen ↗](#)

ex
$$3.133333 = 1 + \frac{32\text{mm}}{15\text{mm}}$$



8) Verhältnis der Torsionsfestigkeit der Welle mit Passfedernut zur Welle ohne Passfedernut ↗

fx $C = 1 - 0.2 \cdot \frac{b_k}{d} - 1.1 \cdot \frac{h}{d}$

[Rechner öffnen ↗](#)

ex $0.88 = 1 - 0.2 \cdot \frac{5\text{mm}}{45\text{mm}} - 1.1 \cdot \frac{4\text{mm}}{45\text{mm}}$

Flache Platte gegen schwankende Belastungen ↗

9) Belastung einer flachen Platte mit Schulterkehle bei gegebener Nennspannung ↗

fx $P = \sigma_o \cdot d_o \cdot t$

[Rechner öffnen ↗](#)

ex $8750\text{N} = 25\text{N/mm}^2 \cdot 35\text{mm} \cdot 10\text{mm}$

10) Dicke der flachen Platte mit Schulterkehle bei Nennspannung ↗

fx $t = \frac{P}{\sigma_o \cdot d_o}$

[Rechner öffnen ↗](#)

ex $10\text{mm} = \frac{8750\text{N}}{25\text{N/mm}^2 \cdot 35\text{mm}}$

11) Hauptachse des elliptischen Risslochs in einer flachen Platte bei gegebenem theoretischen Spannungskonzentrationsfaktor ↗

fx $a_e = b_e \cdot (k_t - 1)$

[Rechner öffnen ↗](#)

ex $30\text{mm} = 15\text{mm} \cdot (3 - 1)$



12) Kleinere Breite der flachen Platte mit Schulterkehle bei Nennspannung ↗

fx $d_o = \frac{P}{\sigma_o \cdot t}$

[Rechner öffnen ↗](#)

ex $35\text{mm} = \frac{8750\text{N}}{25\text{N/mm}^2 \cdot 10\text{mm}}$

13) Nebenachse eines elliptischen Risslochs in einer flachen Platte bei gegebenem theoretischen Spannungskonzentrationsfaktor ↗

fx $b_e = \frac{a_e}{k_t - 1}$

[Rechner öffnen ↗](#)

ex $16\text{mm} = \frac{32\text{mm}}{3 - 1}$

14) Nennzugspannung in einer flachen Platte mit Schulterverrundung ↗

fx $\sigma_o = \frac{P}{d_o \cdot t}$

[Rechner öffnen ↗](#)

ex $25\text{N/mm}^2 = \frac{8750\text{N}}{35\text{mm} \cdot 10\text{mm}}$

Rechteckige Platte gegen wechselnde Belastungen ↗

15) Belastung einer rechteckigen Platte mit Querloch bei gegebener Nennspannung ↗

fx $P = \sigma_o \cdot (w - d_h) \cdot t$

[Rechner öffnen ↗](#)

ex $5250\text{N} = 25\text{N/mm}^2 \cdot (70\text{mm} - 49\text{mm}) \cdot 10\text{mm}$



16) Breite der rechteckigen Platte mit Querloch bei gegebener Nennspannung 

$$fx \quad w = \frac{P}{t \cdot \sigma_o} + d_h$$

Rechner öffnen 

$$ex \quad 84\text{mm} = \frac{8750\text{N}}{10\text{mm} \cdot 25\text{N/mm}^2} + 49\text{mm}$$

17) Dicke einer rechteckigen Platte mit Querloch bei Nennspannung 

$$fx \quad t = \frac{P}{(w - d_h) \cdot \sigma_o}$$

Rechner öffnen 

$$ex \quad 16.66667\text{mm} = \frac{8750\text{N}}{(70\text{mm} - 49\text{mm}) \cdot 25\text{N/mm}^2}$$

18) Durchmesser des Querlochs einer rechteckigen Platte mit Spannungskonzentration bei gegebener Nennspannung 

$$fx \quad d_h = w - \frac{P}{t \cdot \sigma_o}$$

Rechner öffnen 

$$ex \quad 35\text{mm} = 70\text{mm} - \frac{8750\text{N}}{10\text{mm} \cdot 25\text{N/mm}^2}$$

19) Nennzugspannung in einer rechteckigen Platte mit Querloch 

$$fx \quad \sigma_o = \frac{P}{(w - d_h) \cdot t}$$

Rechner öffnen 

$$ex \quad 41.66667\text{N/mm}^2 = \frac{8750\text{N}}{(70\text{mm} - 49\text{mm}) \cdot 10\text{mm}}$$



Runder Schaft gegen schwankende Belastungen ↗

20) Biegemoment in einer runden Welle mit Schulterkehle bei Nennspannung ↗

fx $M_b = \frac{\sigma_o \cdot \pi \cdot d_{\text{small}}^3}{32}$

[Rechner öffnen ↗](#)

ex $14313.88 \text{N} \cdot \text{mm} = \frac{25 \text{N/mm}^2 \cdot \pi \cdot (18 \text{mm})^3}{32}$

21) Kleinerer Durchmesser des runden Schafts mit Schulterkehle bei Zug oder Druck ↗

fx $d_{\text{small}} = \sqrt{\frac{4 \cdot P}{\pi \cdot \sigma_o}}$

[Rechner öffnen ↗](#)

ex $21.11004 \text{mm} = \sqrt{\frac{4 \cdot 8750 \text{N}}{\pi \cdot 25 \text{N/mm}^2}}$

22) Nennbiegespannung im runden Schaft mit Schulterkehle ↗

fx $\sigma_o = \frac{32 \cdot M_b}{\pi \cdot d_{\text{small}}^3}$

[Rechner öffnen ↗](#)

ex $24.45179 \text{N/mm}^2 = \frac{32 \cdot 14000 \text{N} \cdot \text{mm}}{\pi \cdot (18 \text{mm})^3}$



23) Nenntorsionsspannung in runder Welle mit Schulterkehle ↗

$$fx \quad \sigma_o = \frac{16 \cdot (M_t t)}{\pi \cdot d_{\text{small}}^3}$$

[Rechner öffnen ↗](#)

$$ex \quad 24.88843 \text{N/mm}^2 = \frac{16 \cdot 28500 \text{N*mm}}{\pi \cdot (18 \text{mm})^3}$$

24) Nennzugspannung im runden Schaft mit Schulterkehle ↗

$$fx \quad \sigma_o = \frac{4 \cdot P}{\pi \cdot d_{\text{small}}^2}$$

[Rechner öffnen ↗](#)

$$ex \quad 34.38533 \text{N/mm}^2 = \frac{4 \cdot 8750 \text{N}}{\pi \cdot (18 \text{mm})^2}$$

25) Torsionsmoment in einer runden Welle mit Schulterkehle bei Nennspannung ↗

$$fx \quad (M_t t) = \frac{\tau_o \cdot \pi \cdot d_{\text{small}}^3}{16}$$

[Rechner öffnen ↗](#)

$$ex \quad 22902.21 \text{N*mm} = \frac{20 \text{N/mm}^2 \cdot \pi \cdot (18 \text{mm})^3}{16}$$

26) Zugkraft im runden Schaft mit Schulterkehle bei Nennspannung ↗

$$fx \quad P = \frac{\sigma_o \cdot \pi \cdot d_{\text{small}}^2}{4}$$

[Rechner öffnen ↗](#)

$$ex \quad 6361.725 \text{N} = \frac{25 \text{N/mm}^2 \cdot \pi \cdot (18 \text{mm})^2}{4}$$



Verwendete Variablen

- a_e Hauptachse des elliptischen Risses (*Millimeter*)
- b_e Kleinere Achse des elliptischen Risses (*Millimeter*)
- b_k Breite des Schlüssels im runden Schaft (*Millimeter*)
- C Verhältnis der Wellenfestigkeit mit und ohne Keilnut
- d Durchmesser der Welle mit Keilnut (*Millimeter*)
- d_h Durchmesser des Querlochs in der Platte (*Millimeter*)
- d_o Kleinere Plattenbreite (*Millimeter*)
- d_{small} Kleinerer Schaftdurchmesser mit Hohlkehle (*Millimeter*)
- h Höhe der Wellennut (*Millimeter*)
- k_f Ermüdungsstress-Konzentrationsfaktor
- k_t Theoretischer Spannungskonzentrationsfaktor
- M_b Biegemoment auf runder Welle (*Newton Millimeter*)
- $M_t t$ Torsionsmoment auf Rundwelle (*Newton Millimeter*)
- P Auf eine flache Platte laden (*Newton*)
- t Dicke der Platte (*Millimeter*)
- w Breite der Platte (*Millimeter*)
- σ_m Mittlere Spannung bei schwankender Belastung (*Newton pro Quadratmillimeter*)
- σ_{max} Maximale Spannung an der Rissspitze (*Newton pro Quadratmillimeter*)
- σ_{min} Minimale Spannung an der Rissspitze (*Newton pro Quadratmillimeter*)
- σ_o Nennspannung (*Newton pro Quadratmillimeter*)
- σa_{max} Höchster Wert der tatsächlichen Spannung in der Nähe der Diskontinuität (*Newton pro Quadratmillimeter*)
- T_o Nenntorsionsspannung für schwankende Last (*Newton pro Quadratmillimeter*)



Konstanten, Funktionen, verwendete Messungen

- **Konstante:** pi, 3.14159265358979323846264338327950288
Archimedes' constant
- **Funktion:** sqrt, sqrt(Number)
Square root function
- **Messung:** Länge in Millimeter (mm)
Länge Einheitenumrechnung ↗
- **Messung:** Macht in Newton (N)
Macht Einheitenumrechnung ↗
- **Messung:** Drehmoment in Newton Millimeter (N*mm)
Drehmoment Einheitenumrechnung ↗
- **Messung:** Betonen in Newton pro Quadratmillimeter (N/mm²)
Betonen Einheitenumrechnung ↗



Überprüfen Sie andere Formellisten

- Ungefähr Schätzung der Lebensdauergrenze im Design Formeln 
- Kerbempfindlichkeit für schwankende Lasten Formeln 
- Soderberg- und Goodman-Linien Formeln 
- Spannungskonzentrationsfaktoren im Design Formeln 

Fühlen Sie sich frei, dieses Dokument mit Ihren Freunden zu **TEILEN!**

PDF Verfügbar in

[English](#) [Spanish](#) [French](#) [German](#) [Russian](#) [Italian](#) [Portuguese](#) [Polish](#) [Dutch](#)

10/11/2023 | 2:13:53 PM UTC

[Bitte hinterlassen Sie hier Ihr Rückkoppelung...](#)

